

反相色谱分离蚯蚓纤溶酶的初步研究

刘 芳 刘紫鵠* 沈忠耀

(清华大学化工系 北京 100084)

蚯蚓纤溶酶是由日本宫崎医科大学的 Mihara^[1]于 1982 年从蚯蚓的肠和体液中发现的。由于蚯蚓纤溶酶有良好的溶解血栓的作用,可以治疗一系列与血栓形成有关的疾病,因而在临幊上有很大的应用价值^[2],有可能成为一种新型的溶栓药物,继尿激酶、链激酶等之后应用于临幊^[4]。

关于蚯蚓纤溶酶的分离纯化,大多采用盐析、凝胶层析及离子交换层析等方法^[2~6],也有人采用亲和层析的方法^[7]。本文以赤子爱胜蚓纤溶酶粗品为对象,对用反相色谱技术分离蚯蚓纤溶酶进行了初步尝试,现将结果报道如下。

1 材料与方法

1.1 蚯蚓纤溶酶

赤子爱胜蚓的分级超滤粗提物,由本校生物科学与技术系提供。

1.2 色谱仪器及条件

高效液相色谱系统由 Waters-600E 主机、481 紫外检测器和 745 色谱记录仪组成,色谱柱是 μ -Bondapak C₁₈, 3.9mm × 300mm, 125 埃分析柱,均为 Waters 公司产品。在无特殊说明下,色谱条件为室温,检测波长 280nm,流动相甲醇:水 = 1:1, 流量 1.0ml/min, 等度洗脱,记录仪走纸速度 0.5cm/min, 纤溶酶样品浓度 0.2mg/ml, 进样量 10 μ l。

1.3 分析方法

纤溶酶活力的测定;纤维蛋白平板法^[2];纤溶酶分子量的测定;SDS-PAGE 法^[8];纤溶酶等电点的测定;等电聚焦电泳法^[8]。

2 结果与讨论

2.1 纤溶酶分子量的测定

为了解纤溶酶粗品的大致组成及纯度,用 SDS-PAGE 法测定了它的分子量,样品浓度 3mg/ml, 加样量 60 μ l, 结果见表 1。从表 1 可知,纤溶酶粗品是由 16 个分子量不等的组分组成的混合物,分子量分布在 15000~64000 之间。

2.2 纤溶酶等电点的测定

对大多数蛋白质而言,使用低 pH 2.5~3.5 的流动相可以得到最好的分离^[9]。我们在样品浓度 4mg/ml, 加样量 100 μ l 下用等电聚焦电泳法测定得纤溶酶粗品的等电点为 2.8~3.0。可见,对纤溶酶粗品的反相色谱分离,其流动相不能采取过低 pH 值,必须适当地提高 pH,使其偏离纤溶酶的等电点。

甲醇—水体系的 pH 值检测结果表明,当甲醇含量在 0~100% 间变化时,其 pH 值基本不变,约为 6.0,因此,选择甲醇水溶液作流动相时,不致使纤溶酶沉淀。

2.3 流动相中甲醇浓度对纤溶酶活性的影响

一般地,反相色谱分离蛋白质要在高有机溶剂浓度下进行,但高浓度的有机溶剂与蛋白质接触又往

现在山东大学微生物学系。

本文于 1995 年 1 月 23 日收到。

表 1 纤溶酶粗品的分子量分布范围

区带号	相对迁移率	分子量	区带号	相对迁移率	分子量
1	0.17	63811	9	0.39	39591
2	0.18	62430	10	0.41	37907
3	0.23	56014	11	0.42	37093
4	0.29	49181	12	0.44	35522
5	0.31	47086	13	0.58	26218
6	0.34	44126	14	0.62	24038
7	0.37	41342	15	0.66	22039
8	0.38	40457	16	0.84	14914

往会使蛋白因变性而失活^[10]。为此,在30mg/ml纤溶酶溶液中加入甲醇,24h后取样检测了甲醇浓度对纤溶酶活性的影响,试验结果见表2。

表 2 甲醇浓度对纤溶酶活性的影响

甲醇浓度/%	80	65	60	50	40
现象	沉淀	部分沉淀	无沉淀	无沉淀	无沉淀
测活	完全失活	活性损失约50%	活性部分损失	活性无损失	活性无损失

从表2看出,流动相中甲醇浓度应控制在60%以下,才能保证纤溶酶基本不失活,因此我们选择甲醇浓度上限为50%。

2.4 纤溶酶在水和甲醇水溶液中的稳定性

分别测定了纤溶酶在水和50%甲醇水溶液中4℃下保存不同时间的色谱图(图略),结果表明,纤溶酶在两种情况下的色谱图类似,当存放时间小于2d时,均为4个峰,当存放时间大于2d时,第二个峰都分解为2个峰,可见,纤溶酶在4℃情况下不够稳定,只能短期保存,因此,酶液最好是现配现用。

2.5 反相色谱分离纤溶酶粗品的初步研究

2.5.1 流动相流速对分离的影响:流速的变化通常会引起柱效的改变,图1给出了在水中4℃存放2d的纤溶酶样品在不同的流速下色谱图。

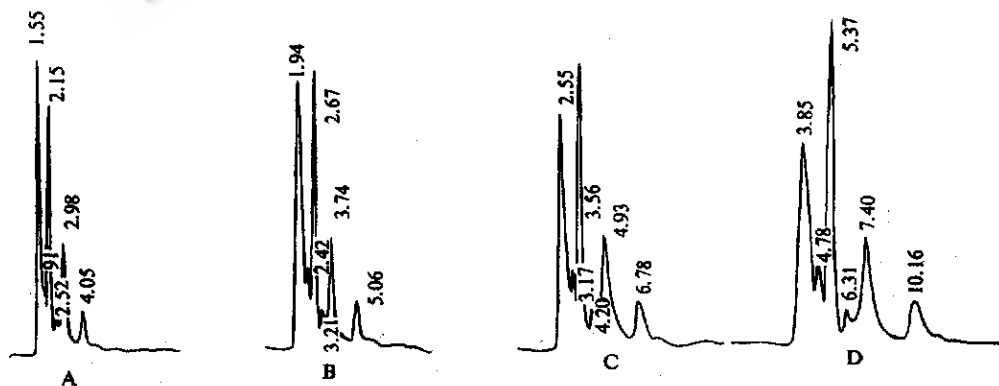


图 1 纤溶酶在不同流速下的色谱图

流速/ $\text{ml} \cdot \text{min}^{-1}$:A.1.0;B.0.8;C.0.6;D.0.4.

从图1的A~D可见,各个峰的保留时间与流速成反比,但随着流速的降低,保留时间增加的幅度是不同的,以4个主要的峰为例,增加幅度大小顺序是峰1<峰2<峰3<峰4,可见,越是晚流出的峰,流速的变化对其保留时间的影响也越大,所以可以通过控制流速使晚流出的过度分离的峰前移,以利于

缩短分离时间。当流速为 0.6 和 0.4 ml/min 时, 各峰间虽然间距较大, 但拖尾现象也较严重, 峰形也不及流速为 1.0 和 0.8 ml/min 时尖锐, 因此, 流动相流速应选择为 0.8~1.0 ml/min。

2.5.2 流动相组成对分离的影响: 在不同甲醇浓度下等度洗脱的实验结果如图 2 所示。随着甲醇浓度的降低, 流动相极性增大, 亲水性增强, 出峰个数增加, 特别当甲醇浓度由 30% 降为 20% 时, 色谱图发生急剧变化, 出峰数目明显增加, 根据以上结果, 梯度洗脱时甲醇浓度应选择在 10%~50% 之间。

以上初步实验表明, 用反相色谱来分离纯化蚯蚓纤溶酶是可能的, 和人们以往常用的方法相比, 可以简化分离过程, 缩短操作时间。进一步的研究应在反相色谱的制备柱上进行, 并对所得的制备量样品进行必要的生化测试和分析。

参 考 文 献

- [1] 新华通讯社编印, 参考消息, 1982, 12月31日, 第三版。
- [2] 李长公, 曾耀辉. 清华大学学报(自然科学版), 1993, 33(3): 100~106.
- [3] 路英华, 金汝成, 吴应文等. 生物化学杂志, 1988, 4(2): 166~172.
- [4] 周元聪, 朱洪, 陈远聪等. 生物化学与生物物理学报, 1988, 20(1): 35~41.
- [5] 程牛亮, 牛勃, 张祖珣等. 生物化学杂志, 1990, 6(2): 186~190.
- [6] 牛勃, 程牛亮, 单鸿仁等. CN1037345A, 1989.
- [7] 徐健民, 张国桢, 陈松鹤等. 上海医科大学学报, 1991, 18(4): 252~256.
- [8] 清华大学生物科学与技术系生物化学教研室. 生物化学实验技术, 1991, 40~49.
- [9] 华家怪. 色谱, 1991, 9(1): 34~38.
- [10] 姚志建. 色谱, 1988, 6(2): 110~112.

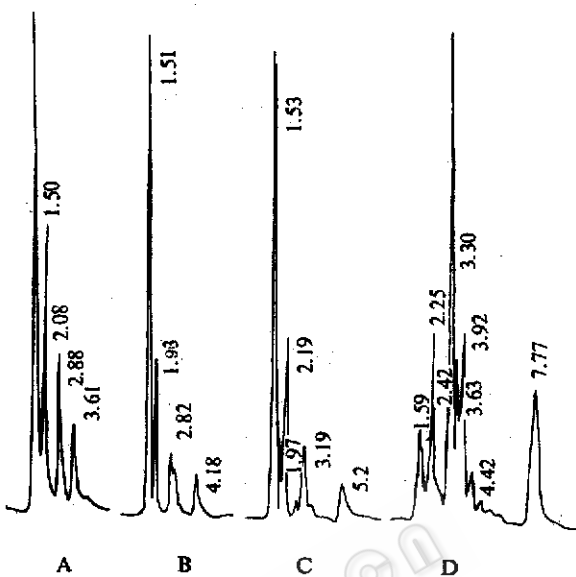


图 2 纤溶酶在不同等度洗脱下的色谱图
甲醇浓度/%: A. 50; B. 40; C. 30; D. 20.

Study on Separation of Fibrenolytic Enzyme from the Earthworm by Reversed-phase HPLC

Liu Fang Liu Zijuan Shen Zhongyao

(Department of Chemical Engineering, Tsinghua University, Beijing 100084)

Abstract Molecular weight and isoelectronic point of fibrenolytic enzyme from Eisenia foelide were determined, its stability in aqueous solution and methanol-water was investigated. The effects of composition and flow rate of mobile phase on separation were tested. It was showed that the suitable range of flow rate was 0.8~1.0 ml/min and the maximum of methanol concentration was 50%.

Key words Earthworm, fibrenolytic enzyme, RP-HPLC